

Mg₂Si 粒子強化 Mg 合金の疲労挙動と破壊機構**Fatigue Behaviour and Fracture Mechanism of Mg₂Si-Reinforced Magnesium Alloys**

○ 真鍋 隆雄 (岐阜大院)
正 植松 美彦 (岐阜大工)

正 鎌倉 光利 (岐阜県製品技研 (岐阜大院))
正 戸梶 恵郎 (岐阜大工)

Takao MANABE, Graduate Student, Gifu University, Yanagido, Gifu 501-1193
Mitsutoshi KAMAKURA, Gifu Prefectural Research Institute
Yoshihiko UEMATSU, Gifu University
Keiro TOKAJI, Gifu University

Key Words: Fatigue, Magnesium alloy, Mg₂Si, Metal matrix composites, Crack initiation, Crack growth

1. 緒 言

近年の環境問題の高まりとともに、実用機械構造用金属材料の中で最も軽量なマグネシウム(Mg)合金が注目されている。しかし、Mg合金の絶対的な強度は低い。そこで、マグネシウムシリサイド(Mg₂Si)を強化材とする金属基複合材料が開発された。Mg₂SiはMg合金と同程度の密度を有し、剛性、硬さなどに優れている。さらに、母地とのねれ性も良好なため、Mg合金基複合材料の強化材として適している。しかし、Mg₂Si粒子強化Mg合金の疲労挙動はほとんど知られていない。

そこで本研究では、異なる条件の押出加工によって作製された2種類のMg₂Si粒子強化AZ31合金基複合材料を用いて疲労試験を実施し、疲労挙動に及ぼす押出条件の影響について検討した。

2. 供試材および試験方法

供試材は、粒径0.1~0.5mmのAZ31合金粉末にMg₂Si粉末(平均粒径:10μm)を2mass%添加、混合し、ホットプレスで圧縮成形したビレットを熱間押出加工した複合材料である。一般に、押出加工時のビレット温度が低いと、結晶粒が微細化することが知られている。そこで、ビレット温度を412°C、373°Cとして材料を作製した。ビレット温度の高低により、得られた材料をそれぞれMg₂Si-H材、Mg₂Si-L材として区別する。各押出材より、機械加工によって試験片軸が押出方向と一致するように、平行部直径8mm、平行部長さ10mmの平滑回転曲げ疲労試験片を採取した。平行部をエメリー紙で2000番まで順次研磨した後、さらにバフ研磨により鏡面状に仕上げ試験に供した。

疲労試験には小野式回転曲げ疲労試験機を用い、室温大気中、繰返し速度f=57Hzで実験を行った。き裂発生および微小き裂成長の観察にはレプリカ法を用いた。

3. 実験結果および考察

3.1 組織と機械的性質 図1に組織を示す。Mg₂Si-H材、Mg₂Si-L材とともにMg₂Si粒子が均一に分散しているが、両材の組織における顕著な相違は結晶粒径であり、平均結晶粒径は前者では12.1μm、後者では7.0μmである。

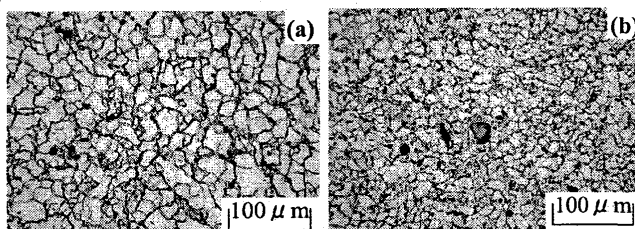


Fig.1. Microstructures of materials: (a) Mg₂Si-H,
(b) Mg₂Si-L.

表1に機械的性質を示す。比較のために、Mg₂Si-H材、Mg₂Si-L材と同程度の結晶粒径を有する市販AZ31合金の機械的性質も併記した。それぞれAZ31-1材、AZ31-2材とする。平均結晶粒径が同程度の市販合金と比較すると、複合材料では0.2%耐力、引張強さ、綫弾性係数は優れるが、伸びは劣る。また、Mg₂Si-H材とMg₂Si-L材では、ほぼ同様の機械的性質であり、結晶粒径の影響は見られない。

3.2 疲労強度 図2にS-N線図を示す。Mg₂Si-H材とMg₂Si-L材を比較すると、ビレット温度が低い後者のほうが有限寿命域における疲労強度および疲労限度(繰返し数N=10⁷回における疲労強度)ともに優れる。また、市販合金と比較すると、Mg₂Si-H材の疲労強度は結晶粒径が同程度のAZ31-1材よりも低いが、Mg₂Si-L材はAZ31-2材よりも高い疲労強度を示す。

3.3 き裂発生挙動 図3はMg₂Si-H材のσ=90MPaで行った試験片におけるき裂発生起点近傍のSEM観察結果である。き裂発生起点には20~30μmの粗大なMg₂Si粒子が認められる。Mg₂Si-H材では、ほとんどのき裂発生起点にMg₂Si粒子が確認された。一方Mg₂Si-L材では、き裂発生起点近傍にMg₂Si粒子は認められなかった。また、EDS分析によつ

Table 1. Mechanical properties of materials.

Material	Proof stress $\sigma_{0.2}$ (MPa)	Tensile strength σ_B (MPa)	Elongation ϕ (%)	Elastic modulus E (GPa)	Grain size d (μm)
Mg ₂ Si-H	210	286	6	42	12.1
Mg ₂ Si-L	209	289	6	42	7.0
AZ31-1		274	15	40	15.9
AZ31-2	198	263	18	39	7.4

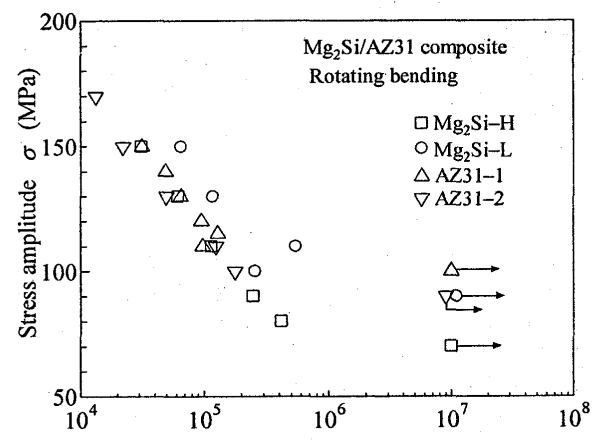


Fig.2. S-N diagram.

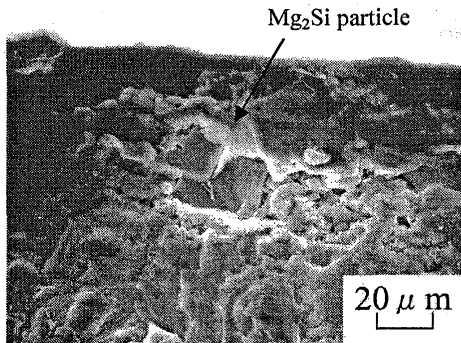


Fig.3. SEM micrograph showing crack initiation site in Mg_2Si -reinforced Mg alloy ($\text{Mg}_2\text{Si}-\text{H}$, $\sigma=90\text{ MPa}$, $N_f=2.49 \times 10^6$).

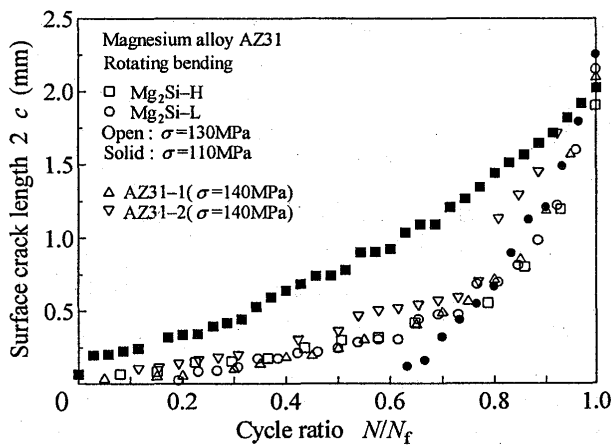


Fig.4. Relationship between surface crack length and cycle ratio.

も、き裂発生起点に Si は検出されなかった。これらのことから、き裂は $\text{Mg}_2\text{Si}-\text{H}$ 材では母地と Mg_2Si 粒子の界面で、 $\text{Mg}_2\text{Si}-\text{L}$ 材では母地のすべり変形により発生していると考えられる。

図 4 にき裂長さ $2c$ と繰返し数比 N/N_f の関係を示す。ここで、疲労寿命 N_f は $2c$ が約 2mm になる繰返し数と定義した。 $\text{Mg}_2\text{Si}-\text{H}$ 材では $\sigma=110, 130\text{ MPa}$ とともに、荷重繰返し直後にき裂が発生しているのに対して、 $\text{Mg}_2\text{Si}-\text{L}$ 材では $\sigma=110\text{ MPa}$ で $N/N_f=0.63$ 、 $\sigma=130\text{ MPa}$ で $N/N_f=0.19$ においてき裂が発生しており、き裂発生寿命が相対的に長い。市販合金と比較しても、 $\sigma=140\text{ MPa}$ において AZ31-1 材では $N/N_f=0.05$ 、AZ31-2 材では $N/N_f=0.12$ であり、 $\text{Mg}_2\text{Si}-\text{L}$ 材のき裂発生寿命が長いことがわかる。

3.4 微小き裂成長挙動 図 5(a), (b) に、それぞれ $\text{Mg}_2\text{Si}-\text{H}$ 材、 $\text{Mg}_2\text{Si}-\text{L}$ 材のき裂成長様相を示す。いずれの場合も、き裂発生起点に Mg_2Si 粒子が認められるが、前述したように $\text{Mg}_2\text{Si}-\text{L}$ 材ではき裂発生起点には Si は検出されなかった。すなわち $\text{Mg}_2\text{Si}-\text{L}$ 材では、 Mg_2Si 粒子との界面近傍の母地中でき裂が発生したことを見ている。 $\text{Mg}_2\text{Si}-\text{H}$ 材、 $\text{Mg}_2\text{Si}-\text{L}$ 材ともに、き裂経路の微視的な屈曲が認められる。経路上に Mg_2Si 粒子が存在する場合には、界面もしくは界面近傍を成長する傾向が見られた。図 6 に微小き裂成長速度 da/dN と最大応力拡大係数 K_{\max} の関係を示す。 da/dN には応力レベル依存性が認められるが、同一応力では $\text{Mg}_2\text{Si}-\text{H}$ 材の da/dN が $\text{Mg}_2\text{Si}-\text{L}$ 材よりも速い。

4. 考 察

$\text{Mg}_2\text{Si}-\text{H}$ 材の疲労強度は $\text{Mg}_2\text{Si}-\text{L}$ 材や市販合金よりも低下したが、同材ではき裂が母地と Mg_2Si 粒子の界面で発生し

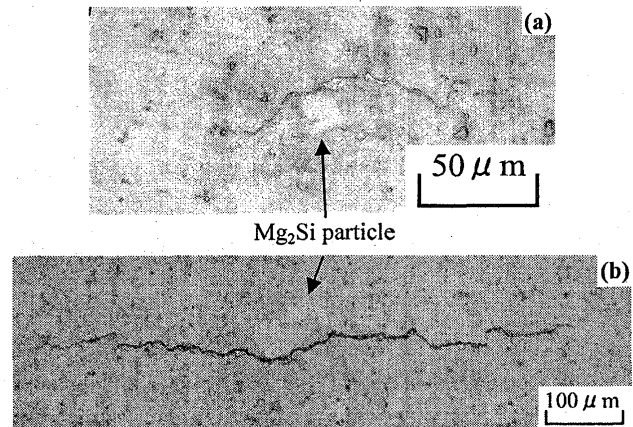


Fig.5. Small crack growth paths in Mg_2Si -reinforced Mg alloys:
(a) $\text{Mg}_2\text{Si}-\text{H}$ ($\sigma=130\text{ MPa}$, $N=6400$), (b) $\text{Mg}_2\text{Si}-\text{L}$ ($\sigma=110\text{ MPa}$, $N=19000$).

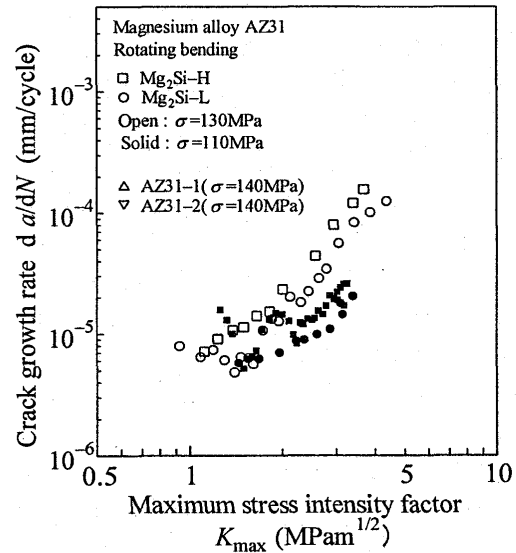


Fig.6. Relationship between crack growth rate and maximum stress intensity factor for small cracks.

ており、その結果、き裂発生寿命が低下して低寿命になったと考えられる。一方 $\text{Mg}_2\text{Si}-\text{L}$ 材では、界面強度が向上しており、 Mg_2Si 粒子がすべり変形を拘束するために、市販合金と比較してもき裂発生寿命が向上したと考えられる。さらに $\text{Mg}_2\text{Si}-\text{L}$ 材は $\text{Mg}_2\text{Si}-\text{H}$ 材よりもき裂成長速度が遅く、き裂は母地中および Mg_2Si 粒子との界面近傍を成長することが確認された。すなわち、 $\text{Mg}_2\text{Si}-\text{L}$ 材では界面強度が高く、かつ母地の結晶粒も微細化しているために da/dN が低速となり、疲労限度のみならず、有限寿命域の強度も向上したと考えられる。なお、ビレット温度が低い場合、母地と Mg_2Si 粒子の界面の強度が向上する理由は不明であるが、ビレット温度が高い場合よりも塑性変形能が低く、より強い押出力が加わったことが考えられる。

5. 結 言

本研究では、 Mg_2Si 粒子強化 AZ31 合金基複合材料の疲労挙動に及ぼす押出条件の影響について検討した。その結果、ビレット温度が高い場合、強化粒子と母地の界面の接着性が弱く、界面でき裂が発生するために市販合金よりも疲労強度は低下した。一方ビレット温度が低い場合、界面強度は高く、母地の結晶粒も微細化されることから、き裂発生抵抗および微小き裂成長抵抗のいずれも向上した。

(参考文献省略)